

南京市 2024 届高三年级学情调研

地理

2023.09

本试卷共 100 分。考试用时 75 分钟。

注意事项：

答题前，考生务必把自己学校、姓名写在答题卡上。选择题答案按要求填写在答题卡上；非选择题的答案写在答题卡上对应题目的答案空格内。答案不写在试卷上。考试结束后，交回答题卡。

一、单项选择题：本大题共 23 小题，每题 2 分，共计 46 分。在每小题给出的四个选项中，只有一项是符合题目要求的。

我国某地（ 25°N ）中学生于某日做太阳视运动观测，发现该日北京时间 12:41 太阳高度角最大，为 88.5° ，日落时间为 19:30。据此回答 1~3 题。

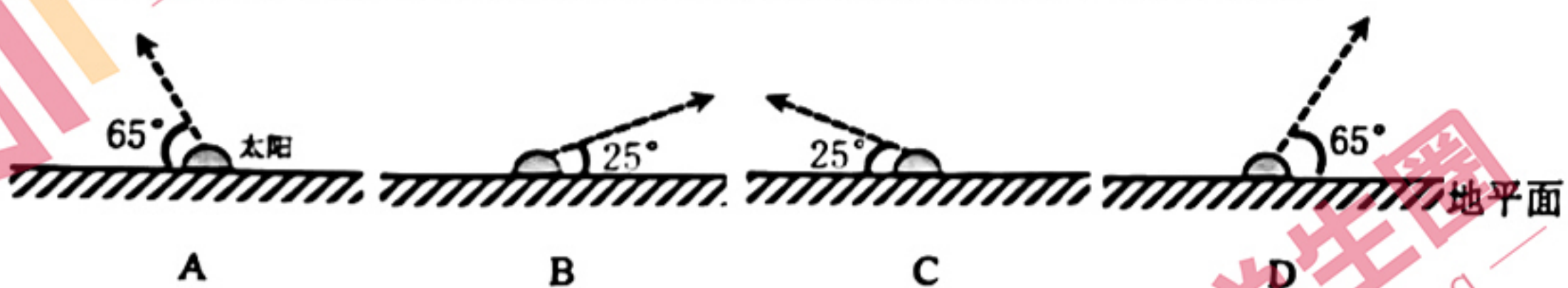
1. 下列城市与该地距离最近的是

- A. 厦门 B. 桂林 C. 西安 D. 昆明

2. 估测该日北京时间 18:41，当地太阳方位为

- A. 西南 B. 正西 C. 西北 D. 正北

3. 下图中，与该日学生观测到太阳升起后的轨迹及其与地平面夹角最接近的是



雾是大量微小水滴或冰晶浮游在空中，使水平能见度低于 1.0 km 的天气现象。图 1 为安徽省近十年年平均大雾日数的空间分布。据此回答 4~5 题。

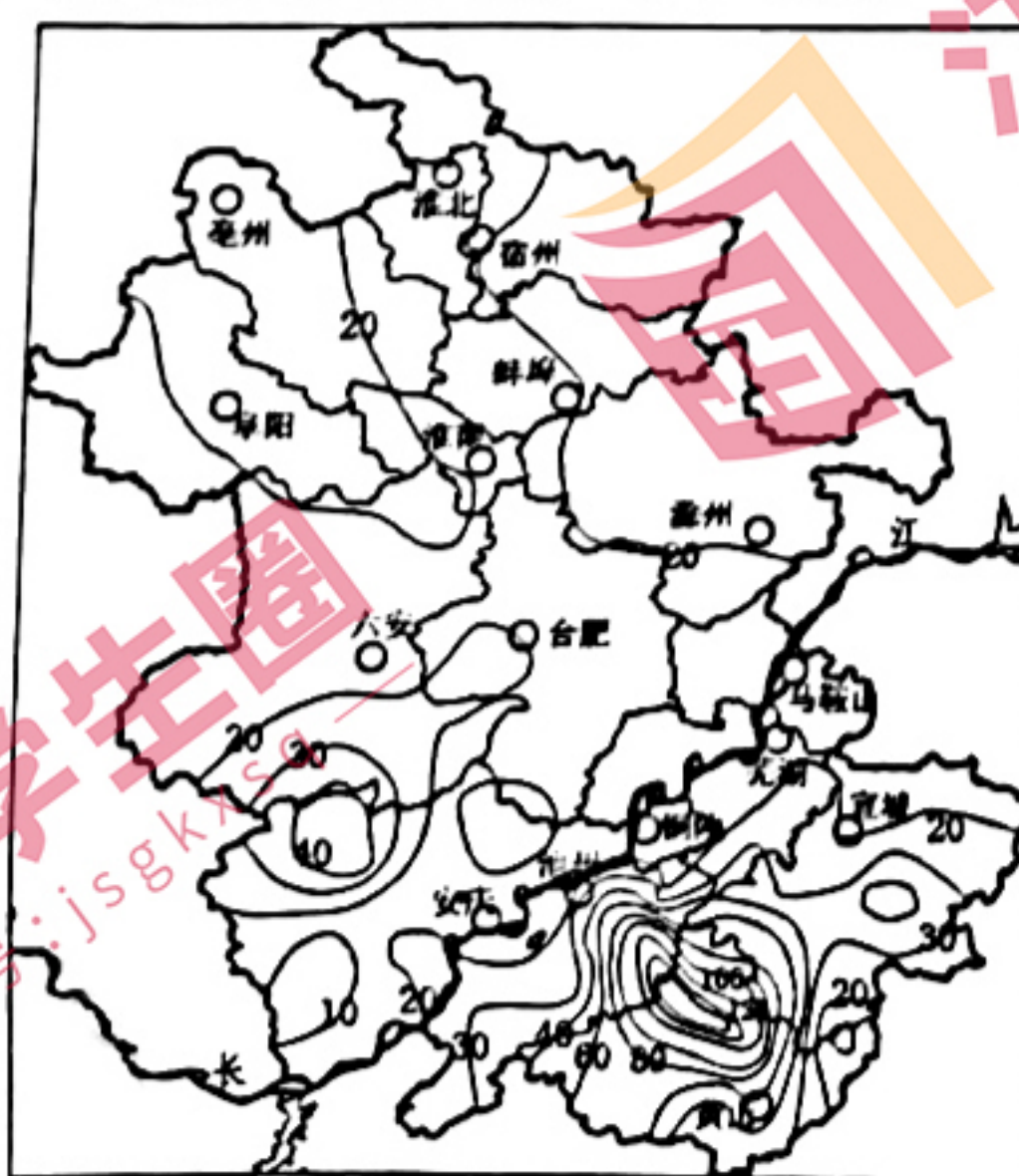


图 1

4. 大雾一般多发的时间为

- A. 冬季的凌晨 B. 春季的傍晚 C. 夏季的深夜 D. 秋季的中午

5. 图示平均大雾日数最多的区域多雾的原因主要是

- A. 距海近，水汽充足 B. 地形崎岖，利于凝结
C. 风力小，凝结核多 D. 纬度较低，气温较高

桌子山位于内蒙古乌海市，东与鄂尔多斯高原接壤，西临黄河。图2为桌子山和鄂尔多斯高原(局部)地形地质剖面图。据此回答6~7题。

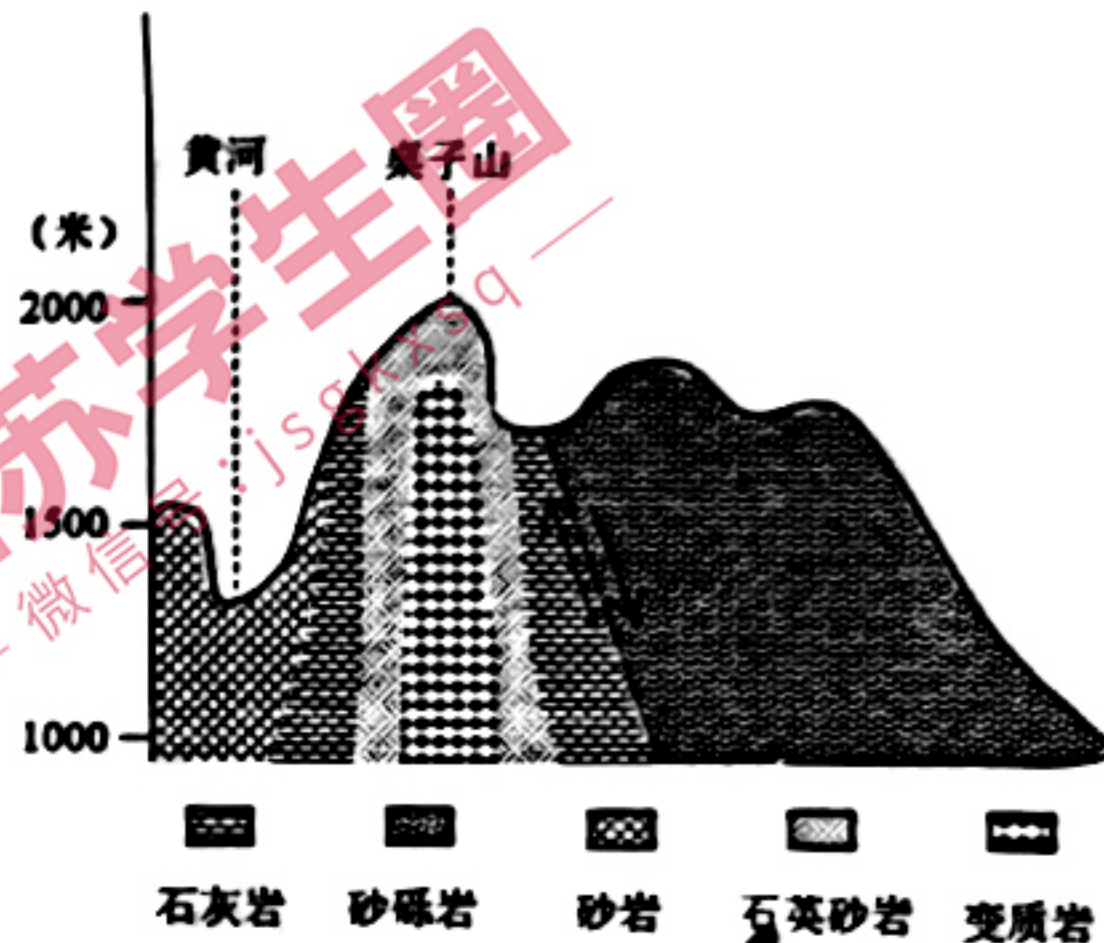


图2

6. 桌子山形成的地质过程为

- A. 沉积作用→变质作用→地壳抬升→外力侵蚀
B. 变质作用→外力侵蚀→地壳抬升→沉积作用
C. 地壳抬升→外力侵蚀→沉积作用→变质作用
D. 沉积作用→地壳抬升→变质作用→外力侵蚀

7. 该地石灰岩形成时期的气候特征最可能为

- A. 冷湿 B. 冷干 C. 暖湿 D. 暖干

第聂伯河发源于俄罗斯瓦尔代丘陵南部地带，是欧洲第三大河。以基辅为界，分为上第聂伯河和下第聂伯河，2023年6月卡霍夫卡水电站大坝发生爆炸决堤，部分地区遭受水灾，图3为第聂伯河流域简图。据此回答8~9题。

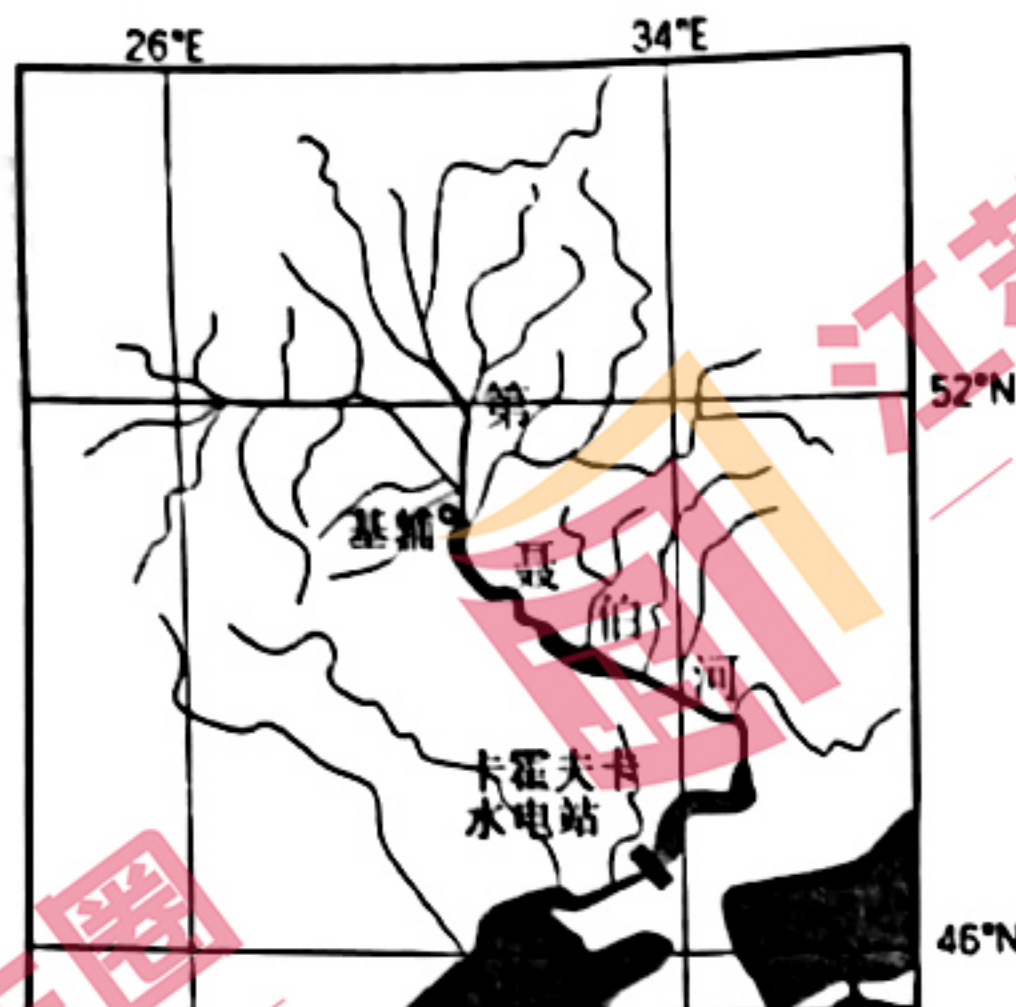


图3

8. 关于第聂伯河流域叙述正确的是

- A. 以冰川融水补给为主 B. 径流补给主要来自上游
C. 下游冬季有凌汛现象 D. 封冻期较长航运条件差

9. 卡霍夫卡水电站大坝决堤后,对流域的影响表现在

- A. 库区水源减少,支撑服务减弱 B. 下游出现洪灾,文化服务减弱
C. 电力资源紧张,供给服务下降 D. 库区景观消失,调节服务下降

山地垂直自然带谱的形成,不仅取决于绝对高程和相对高度,同时也取决于山体所处的水平地带的位置。图4为贺兰山中段东、西两坡垂直自然带分布图。据此回答10~12题。

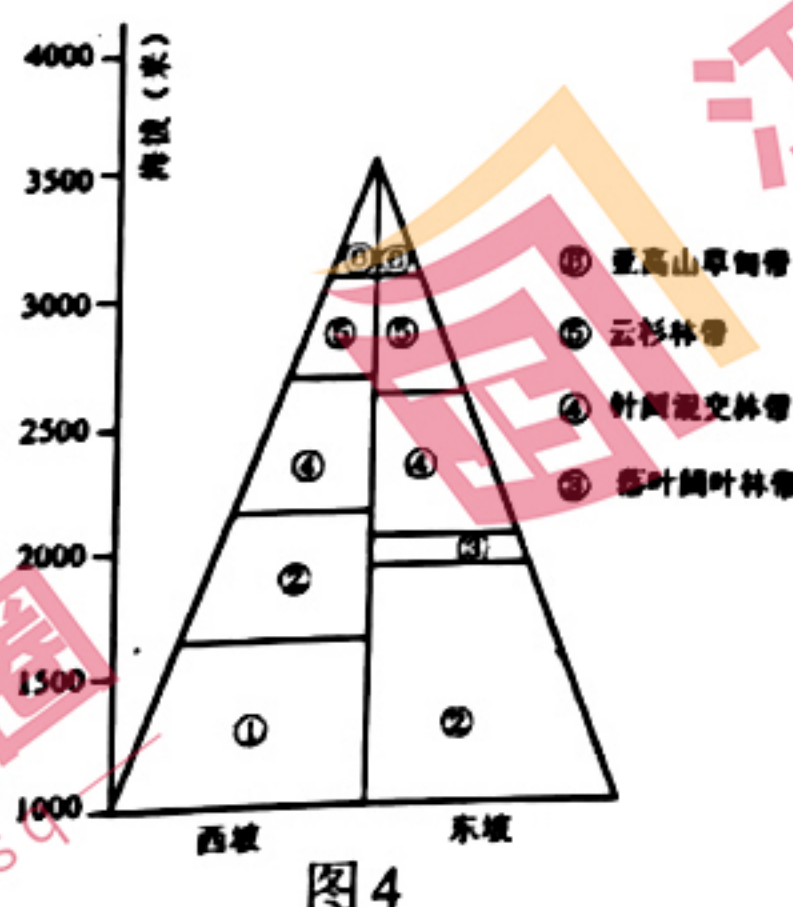


图4

10. ②自然带的类型为

- A. 温带荒漠 B. 温带草原 C. 高山草甸 D. 荒漠草原

11. 影响东坡森林带下限低于西坡的主要因素是

- A. 水分 B. 热量 C. 海拔 D. 坡度

12. ⑥自然带东西坡分布高度差异小的主要原因是

- A. 海拔高，气温低 B. 山顶面积小
C. 坡度大，土层薄 D. 光照差异小

仅有老年夫妻或者独居老人组成家庭为老年空巢家庭。图5为2020年分年龄、分性别的老年人居住状况。据此回答13~15题。

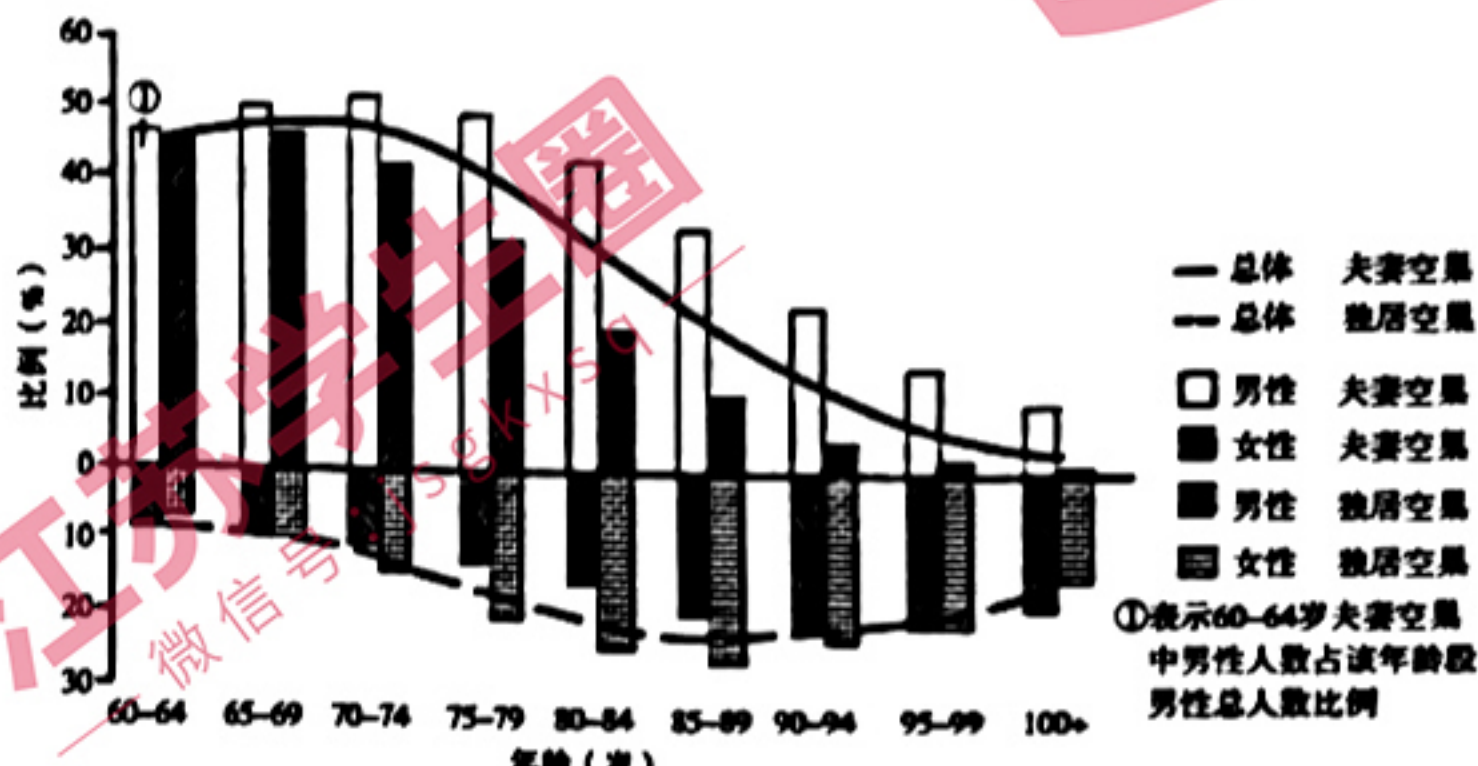


图5

13. 据图可知

- A. 女性老年人独居空巢比例低于男性 B. 65~69岁老年人口夫妻空巢比例最高
C. 夫妻空巢主要发生在低龄老年人中 D. 高龄男性老年人独居空巢形势更严峻

14. 虽然中国空巢老人规模巨大,但老年人口中空巢老人的比例与西方发达国家相比仍然偏低,原因可能为

- A. 家庭规模日益小型化 B. 家庭联系日益松散化
C. 家庭结构日益简单化 D. 传统家庭观念的影响

15. 老年空巢家庭将逐渐成为社会的新常态,为应对这一社会现象,我国应

- A. 推进社区养老 B. 营造尊老氛围
C. 鼓励延迟退休 D. 提高养老金金额

后沟村位于山西省晋中市榆次区东赵乡,民居建筑为典型的黄土高原土穴窑居。2003年,后沟村成为中国民间文化遗产抢救工程唯一古村落农耕文化遗产采样地。图6为后沟村地形图,图7为总渠和道路连接的排水口图。据此回答16~18题。



图 6

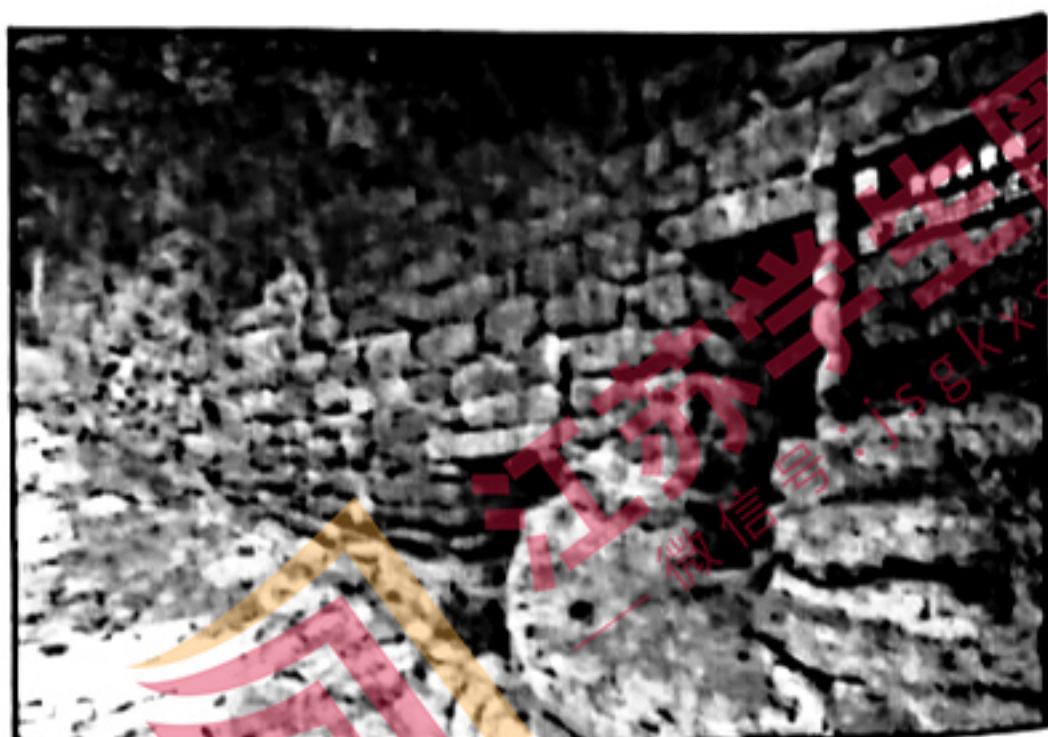


图 7

16. 该聚落布局

- A. 便于联系,利于出行
- B. 靠近农田,方便耕作
- C. 依势建房,节省成本
- D. 背山面水,利于防卫

17. 遍布村内的水渠,主要作用是

- A. 排泄雨水
- B. 排放污水
- C. 生活取水
- D. 引水灌溉

18. 后沟村窑洞的墙基和周边都会铺上青砖或石板,主要原因是

- A. 减少下渗收集雨水
- B. 防止径流冲刷墙基
- C. 就地取材减少费用
- D. 延续传统建筑文化

2023年6月,江苏省政府印发《关于公布江苏省化工园区认定复核通过名单的通知》,首批共有23家园区上榜。图8为江苏省各市省级化工园区数量分布图,据此回答19~20题。

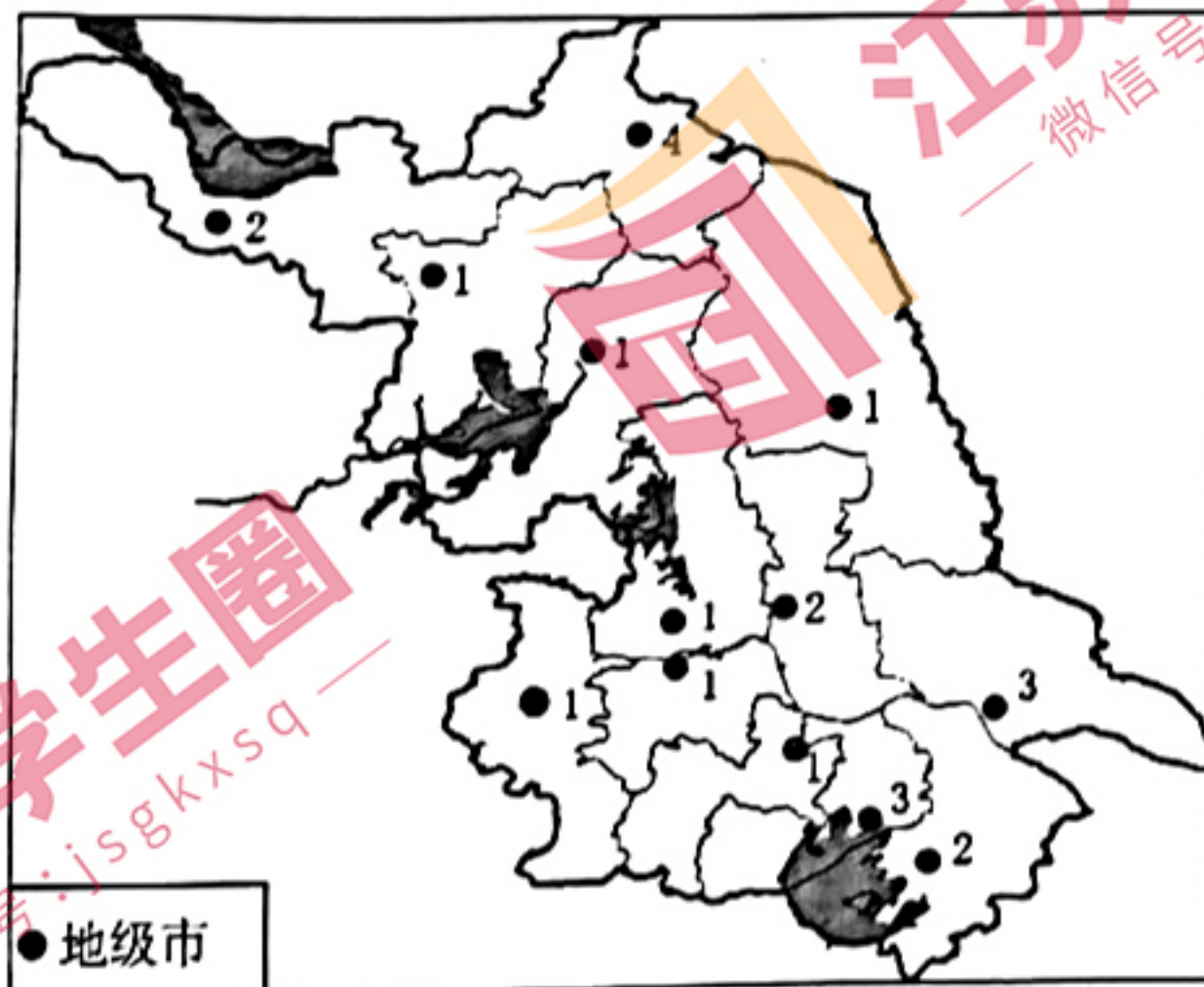


图 8

19. 关于江苏省化工产业园区分布数量,正确的是

- A. 苏南>苏北>苏中 B. 沿海>沿江>环太湖
C. 苏北>苏中>苏南 D. 沿江>沿海>环太湖

20. 江苏省级化工产业园区未来的发展方向有

- ①推动绿色发展 ②扩大生产规模 ③加强科技投入
④发展高端化工产业 ⑤建构化工产品全品类生产
- A. ①②③ B. ②④⑤ C. ①③④ D. ③④⑤

雷州半岛位于广东省西南部,自古以来就是“苦旱之地”。2022年8月广东省实施了环北部湾广东水资源配置工程,该工程从西江干流取水,调水至雷州半岛南部,供水范围覆盖茂名、湛江等地。图9为雷州半岛位置示意图。据此回答21~23题。

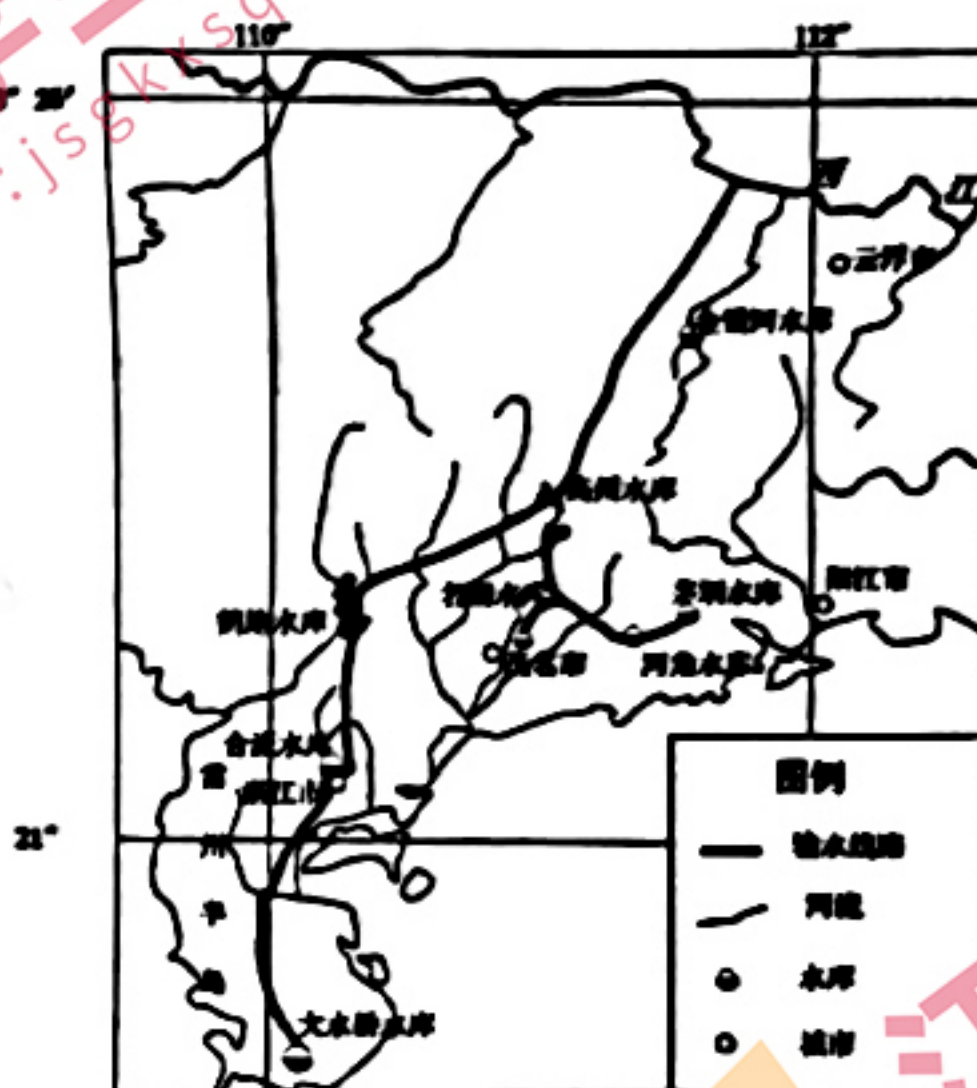


图9

21. 雷州半岛缺水严重的自然原因是

- A. 降水量少 B. 淡水储存条件差
C. 植被稀疏 D. 水利工程不完善

22. 该工程西江至高州水库段采用全封闭隧道增压输水设计,考虑的主要因素是

- A. 水量 B. 生态 C. 水质 D. 地形

23. 该水资源调配工程对沿线及目的地的生态影响有

- A. 回补雷州半岛地下水 B. 缩短珠江河口海水上溯的距离
C. 缓解水资源紧张状况 D. 受水区水生生物入侵风险降低

二、综合题：本大题共3小题，共计54分。

24. 阅读材料，回答下列问题。（16分）

材料一 厄尔尼诺是赤道附近太平洋中东部表层海水温度异常升高的现象。2023年5月世界气象组织宣布，今年7月到9月产生厄尔尼诺现象的可能性为80%，可能加剧全球升温，预计海面温度将达到历史最高记录。

材料二 图10为赤道附近太平洋上空沃克环流示意图。

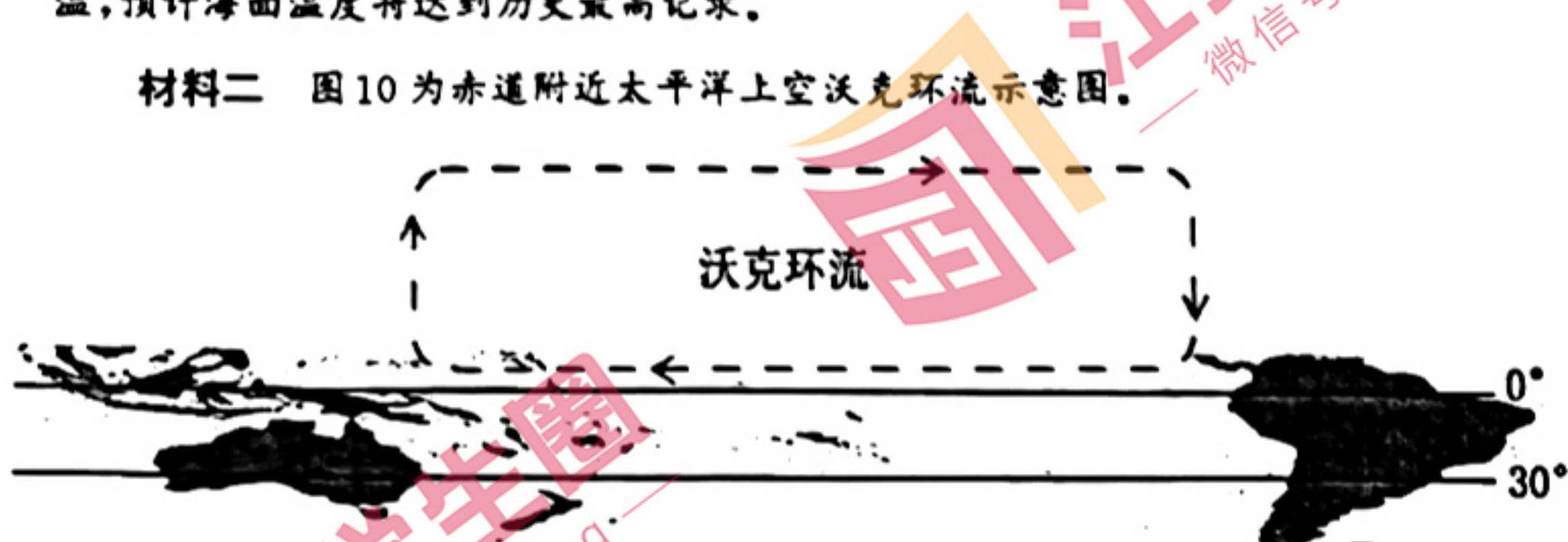


图 10

(1) 绘制南太平洋中低纬大洋环流并标注洋流名称。（作图要求：用2B铅笔绘制洋流箭头时须加黑、加粗，洋流名称须写在箭头附近合适的位置）(4分)

(2) 从大气运动和洋流运动的角度，说明沃克环流的形成过程。(6分)

(3) 从海—气相互作用角度，分析厄尔尼诺年太平洋中东部气象灾害的成因。(6分)

25. 阅读材料，回答下列问题。（20分）

材料一 “内贸货物跨境运输”是指国内贸易货物由我国境内某一口岸启运，通过境外运至我国境内另一口岸的运输方式。由于运力有限，东北地区运往南方的物资难以及时运出，成为制约该地区经济发展的瓶颈之一。为缓解运力紧张，海关总署先后同意黑龙江省和吉林省内贸货物经俄罗斯的符拉迪沃斯托克港过境运至东南沿海港口。

材料二 图11为新增内贸跨境运输航线图及符拉迪沃斯托克气候资料。

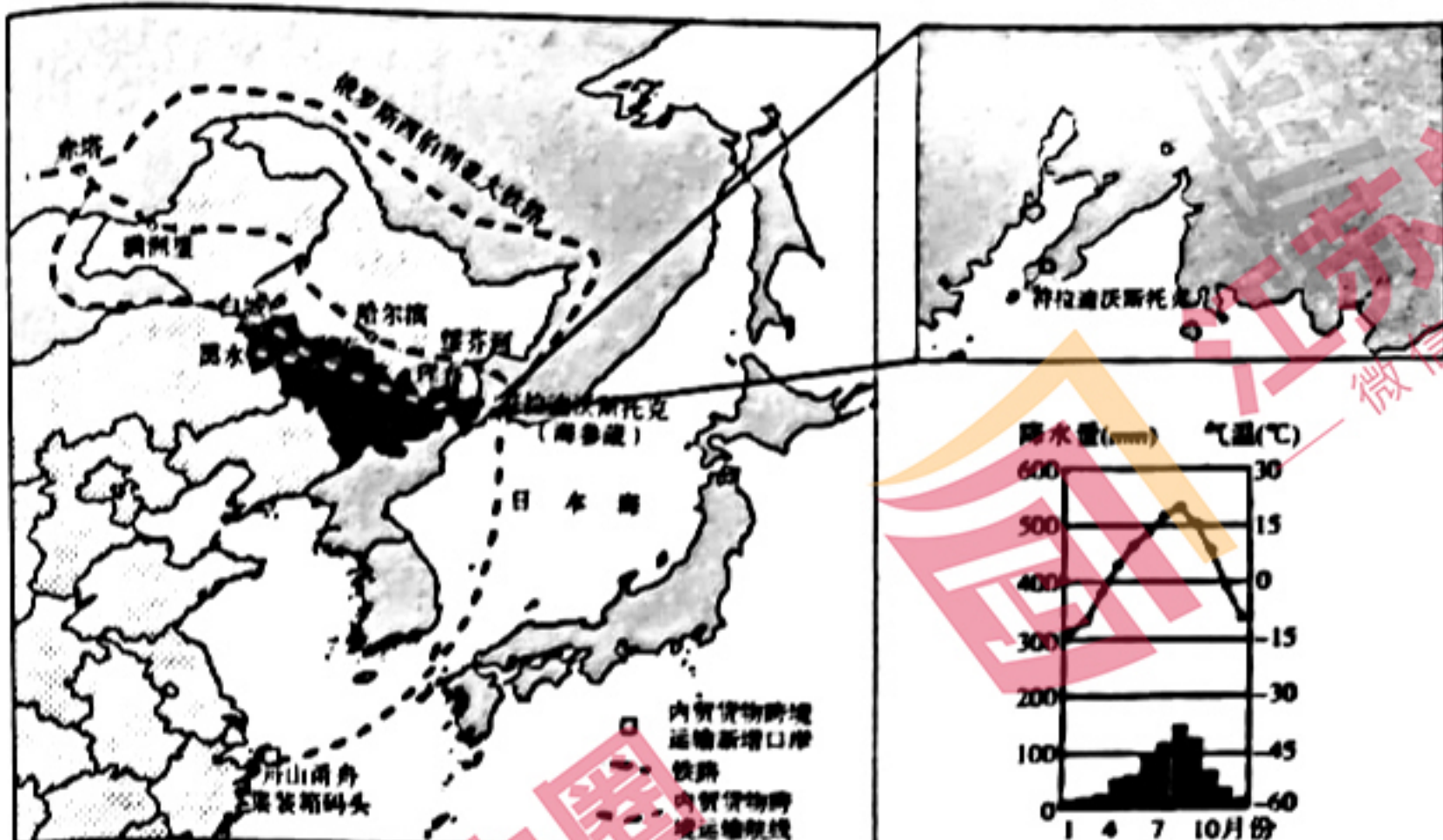


图11

- (1)判断符拉迪沃斯托克的气候类型，并分析其冬季寒冷的原因。（6分）
- (2)评价符拉迪沃斯托克港形成的区位条件。（8分）
- (3)简述符拉迪沃斯托克港作为内贸货物跨境运输中转口岸对东北地区的意义。（6分）

26. 阅读材料，回答下列问题。（18分）

材料一 贵州晴隆县山地多、平地少，坡陡且垦殖率高，水土流失、耕地石漠化严重，人民生活贫困。2010年，该县喀斯特地貌面积817.4平方千米，占全县总面积的61.6%。其中，石漠化地区面积481.4平方千米，占全县总面积的36.3%。

材料二 2010年以来当地政府组织农民在陡坡岩溶山地开展人工种植优质牧草，养殖优质肉羊，探索出了一条岩溶山区种草养畜与扶贫开发、石漠化治理相结合的路子，较好地破解了生态脆弱地区农村贫困与生态退化恶性循环的怪圈，体现出生态修复与扶贫开发、农民增收的有机结合，被称为“晴隆模式”。

材料三 图12为晴隆在贵州的位置，图13为贵州的“晴隆羊”照片。

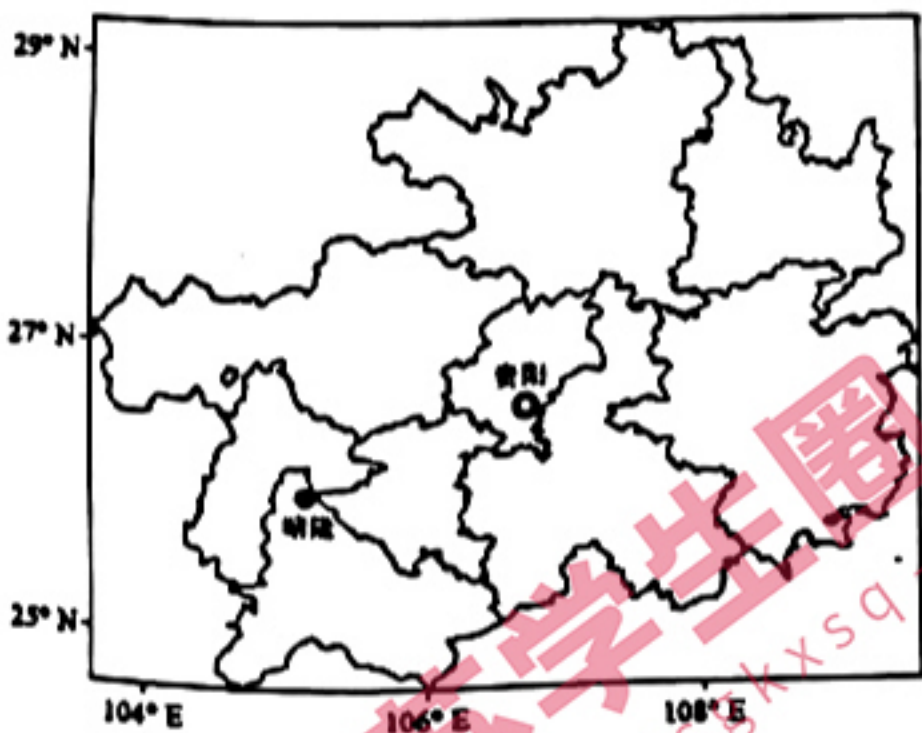


图12



图13

- (1)分析贵州晴隆石漠化问题突出的自然原因。（6分）
- (2)从地形角度，分析晴隆县牧草品质优良的原因。（6分）
- (3)说明晴隆模式如何兼顾经济发展与石漠化治理。（6分）